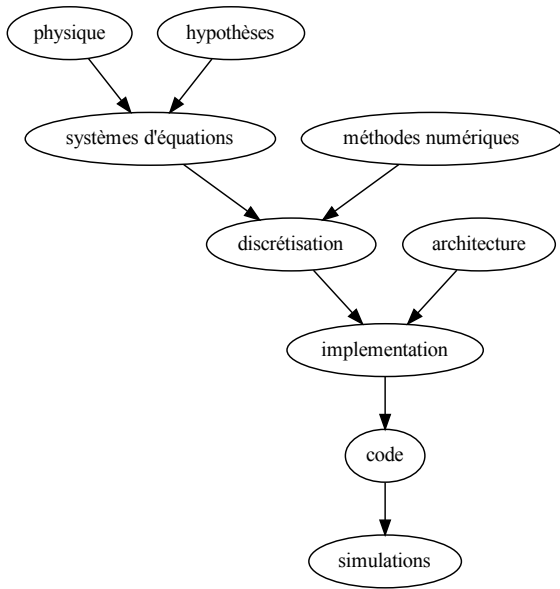


Des équations aux codes

G. Roullet
LOPS, Univ. Brest

24-28 novembre 2025



Introduction

Objectifs de ce cours

- équations et variables
- méthodes numériques
- architecture
- implémentation

Où comment passer des maths à un code.

- Ce cours sera illustré avec le code `Fluids2d`, 100% Python, $\sim 1\,500$ lignes de code
- ce code ne traite que des cas 2D, (x, y) ou (x, z) .
- les TP utiliseront ce code.

Equations

Diversité des systèmes d'équations

- équations d'Euler incompressibles,
- équations Boussinesq,
- équations primitives (PE),
- équations couche mince (rotating shallow water) (RSW),
- équations quasi-géostrophiques (QG),
- ...

Hypothèses

Diversité des hypothèses

- incompressible,
- Boussinesq,
- hydrostatique,
- Coriolis: hypothèse traditionnelle, plan beta,
- géoïde sphérique,
- etc.

Variables

Diversité des variables

A chaque jeu d'équations correspond un jeu de variables

modèle		prognostiques	diagnostiques
Euler		\mathbf{u}	p
PE	Primitive Equations	(\mathbf{u}_h, T, S)	(ρ, p, w, K, ω)
RSW	Rotating Shallow Water	(\mathbf{u}_h, h)	(p, K, ω)
QG	Quasi-geostrophic	q	(\mathbf{u}_h, p, h)

Deux groupes de variables

prognostiques : variables qui possèdent une loi d'évolution temporelle explicite

diagnostiques : variables qui se déduisent des variables prognostiques

Diagnostique vs. prognostique

Exemples

- u_h , **quantité de mouvement horizontale** → prognostique dans presque tous les modèles, sauf pour QG → diagnostique.
- w , **vitesse verticale** → prognostique en non-hydrostatique, diagnostique dans les modèles PE, RSW etc
- K , **énergie cinétique** → diagnostique
- p , **pression** → diagnostique
- T , **température** → prognostique ou diagnostique
- ρ , **masse volumique** → presque toujours diagnostique, sauf dans les modèles simples, à une composante, viz. $\rho(T)$.

Structure des équations

Systèmes d'EDP

3 grandes **classes de problèmes** (imbriqués)

- transport
- ondes
- diffusion

et souvent, de manière plus ou moins cachée: des **problèmes elliptiques**

Liens avec le numérique

- Les méthodes numériques diffèrent largement selon la classe du problème.
- La difficulté numérique est bien plus grande sur le transport que sur la diffusion.
- Les problèmes elliptiques font peur à la communauté OA.

Équations d'Euler incompressibles

Conservation quantité de mouvement + incompressibilité

$$\partial_t \mathbf{u} = -\boldsymbol{\omega} \times \mathbf{U} - \nabla(p + K) \quad (1)$$

$$\nabla \cdot \mathbf{U} = 0 \quad (2)$$

Quantités diagnostiques

$$\boldsymbol{\omega} = \nabla \times \mathbf{u}$$

$$K = \frac{1}{2} \mathbf{u} \cdot \mathbf{U}$$

$$\mathbf{U} = g^{-1} \mathbf{u}$$

\mathbf{u} : vitesse **transportée**

\mathbf{U} : vitesse **transportante**

g : tenseur de métrique

$$g = \begin{pmatrix} dx^2 & 0 \\ 0 & dy^2 \end{pmatrix}$$

À noter: sous cette forme, les équations sont **invariantes par changement de coordonnées**.

Calcul de la pression (équations d'Euler)

Equation de Poisson pour la pression (cas $g = I$)

$$\nabla \cdot \mathbf{U} = 0 \quad \rightarrow \quad \nabla^2 p = -\nabla \cdot (\omega \times \mathbf{U}) - \nabla^2 K$$

En pratique on utilise plutôt une **méthode de projection**

$$\mathbf{u}^* = \mathbf{u}^n - \Delta t (\omega \times \mathbf{U} + \nabla K)$$

$$\mathbf{u}^{n+1} = \mathbf{u}^* - \nabla \tilde{p}$$

avec $\tilde{p} = p\Delta t$ et l'**équation de Poisson**

$$\nabla^2 \tilde{p} = \nabla \cdot \mathbf{u}^*. \quad (3)$$

Cette technique permet de garantir $\nabla \cdot \mathbf{u}^n \sim 0$ pour tout n .

Résolution de (3) avec un algo itératif → solution approchée pour p .

Interprétation de la pression

La pression est une grandeur clef en OA, et dans la vraie vie: 1028 mb, il fait beau ...

3 interprétations

- p est le **multiplicateur de Lagrange** qui s'ajuste pour que la force $-\nabla p$ maintienne l'écoulement incompressible
- p est le **poids de la colonne** (hydrostatique)
- p est une **grandeur thermodynamique**, $p = -(\partial U / \partial V)_{(S, \mu)}$

Laquelle est la bonne ?

Réponse: toutes ! ça dépend du modèle = du jeu d'équations.

Autre technique

Pour éviter d'affronter la résolution de l'équation de Poisson: **relaxation de la compressibilité** → présence d'ondes “sonores”

$$\partial_t \mathbf{u} = -\omega \times \mathbf{U} - \nabla(p + K)$$

$$\partial_t s = -\nabla \cdot (\mathbf{U} s)$$

$$p = c^2 s$$

avec s un traceur virtuel et c un paramètre contrôlant la vitesse des ondes.

- Avec $c \rightarrow \infty$ on rend le système “raide” et la solution tend vers l'incompressibilité.
- On remplace un pb elliptique par une intégration temporelle de ces ondes
- cf. CROCO NBQ pour gérer le non-hydrostatique.

Équations de Boussinesq

On ajoute le traceur actif b , **flottabilité** (buoyancy)

$$\partial_t \mathbf{u} = -\omega \times \mathbf{U} - \nabla(p + K) + b \nabla \phi$$

$$\partial_t b = -\nabla \cdot (\mathbf{U} b)$$

$$\nabla \cdot \mathbf{U} = 0$$

avec $\phi = g z$, le géopotentiel, g l'accélération de la gravité.

buoyancy

$$b = -g \frac{\rho_0 - \rho}{\rho_0}$$

La flottabilité

- est une accélération
- varie comme la température (b grand=léger)

Quizz

1. Comment est calculée la pression dans ce modèle ?

$$\partial_t \mathbf{u} = -\omega \times \mathbf{U} - \nabla(p + K) + b \nabla \phi$$

$$\partial_t b = -\nabla \cdot (\mathbf{U} b)$$

$$\nabla \cdot \mathbf{U} = 0$$

2. Comment interpréter la pression ?

Modèle Boussinesq hydrostatique

Dans le modèle précédent, la pression n'est pas calculée comme étant le poids de la colonne, viz. elle n'est pas hydrostatique.

Version hydrostatique (2D vertical)

$$\partial_t u = \omega W - \partial_x(p + K)$$

$$\partial_z p = b$$

$$\partial_t b = -\nabla \cdot (\mathbf{U} b)$$

$$\nabla \cdot \mathbf{U} = 0$$

avec $K = \frac{1}{2}uU$ et $\omega = -\partial_z u$

Distorsions hydrostatiques

- pas d'énergie cinétique verticale
- une vorticité (horizontale) sans la composante w
- $w = 0$ (**transportée**) mais $W \neq 0$ (**transportante**)

Calcul de la pression et de W

La pression est calculée par intégration verticale

$$p = - \int_z^0 b \, dz \quad (4)$$

ainsi que la vitesse verticale W (en utilisant $\nabla \cdot \mathbf{U} = 0$)

$$W = - \int_{-H}^z \partial_x U \, dz \quad (5)$$

Attention $W|_{z=0} \neq 0$: la dynamique intérieure crée des vitesses verticales en surface → flux à travers la surface ?

Mode barotrope

Deux approches

1) Toit rigide / projection de pression

On introduit une pression de surface p^s telle que $W|_{z=0} = 0$. Comme la projection précédente mais uniquement en surface.

$$u^* = u^n + \Delta t R(u, U, W)$$

$$u^{n+1} = u^n - \partial_x p^s$$

avec

$$(\partial_x H \partial_x) p^s = \partial_x \left(\sum_{-H}^0 u^* dz \right)$$

Ca ressemble au modèle d'Euler mais $p^s(x)$ là où $p(x, z)$.

Mode barotrope

2) Surface libre

On introduit η la hauteur de surface libre et on pose

$$\partial_t \eta = W|_{z=0}$$

- Equation prognostique supplémentaire \rightarrow ondes de gravité barotropes
- Ondes rapides $c = \sqrt{gH} \rightarrow$ oblige un petit Δt
- Difficulté numérique, e.g. technique du time-splitting

Modèle RSW

Le modèle couche-mince tournant (1 couche)

$$\partial_t \mathbf{u} = -(f + \omega) \times \mathbf{U} - \nabla(p + K)$$

$$\partial_t h = -\nabla \cdot (\mathbf{U} h)$$

$$p = g h$$

avec h hauteur d'eau, H épaisseur moyenne de h , g l'accélération de la gravité et f le paramètre de Coriolis

modèle jouet

- ondes de gravito-inertie $\omega^2 = f^2 + gHk^2$
- équilibre géostrophique
- dynamique de la **vorticité potentielle** $q = (f + \omega)/h$ (variété lente)
- **rayon de déformation de Rossby** $R = \sqrt{gH}/f.$

Modèle quasi-géostrophique

Obtenu à partir de RSW en **projetant la dynamique** $\partial_t s = R(s)$ **sur le mode géostrophique**

$$\partial_t s = P \circ R(s)$$

avec $s = (\mathbf{u}, h)$ et **l'opérateur de projection** [Thiry et al, 2024]

$$P = G \circ (Q \circ G)^{-1} \circ Q$$

$$Q(\mathbf{u}, h) = \nabla \times \mathbf{u} - fh/H$$

$$G(p) = (\nabla^\perp p/f, p/g)$$

Le modèle QG a filtré les ondes de gravito-inertie. On peut utiliser un pas de temps plus grand qu'avec RSW.

Le modèle du vent thermique

On reprend Boussinesq et on ajoute un jet $V(x, z)$ perpendiculaire au plan (x, z)

$$\partial_t \mathbf{u} = -\omega \times \mathbf{U} - \nabla(p + K) + b \nabla \phi + f V \nabla x$$

$$\partial_t b = -\nabla \cdot (\mathbf{U} b)$$

$$\partial_t V = -\nabla \cdot (\mathbf{U} V) - f U$$

$$\nabla \cdot \mathbf{U} = 0$$

avec f le paramètre de Coriolis.

- Equilibre du vent thermique ($\mathbf{U} = 0$): $-\nabla p + b \nabla z + f V \nabla x = 0$
- Dans ce modèle \mathbf{U} est la vitesse secondaire (\perp jet).
- Attention comme tout modèle 2D, sa zone de validité est étroite.

Équations de transport

transport de traceur

forme flux

$$\partial_t q = -\nabla \cdot (\mathbf{U} q) \quad (6)$$

forme advective

$$\partial_t q = -\mathbf{U} \cdot \nabla q \quad (7)$$

En pratique, on préfère (6) car elle garantit la **conservation du traceur**.

Équations de transport

transport de traceur

forme flux

$$\partial_t q = -\nabla \cdot (\mathbf{U} q) \quad (6)$$

forme advective

$$\partial_t q = -\mathbf{U} \cdot \nabla q \quad (7)$$

En pratique, on préfère (6) car elle garantit la **conservation du traceur**.

Voyez-vous que (6) est la **version volumes finis (VF)** et (7) la **version différences finies (DF)** ?

Équations de transport

transport de traceur

forme flux

$$\partial_t q = -\nabla \cdot (\mathbf{U} q) \quad (6)$$

forme advective

$$\partial_t q = -\mathbf{U} \cdot \nabla q \quad (7)$$

En pratique, on préfère (6) car elle garantit la **conservation du traceur**.

Voyez-vous que (6) est la **version volumes finis (VF)** et (7) la **version différences finies (DF)** ?

transport de vecteur

$$\partial_t \mathbf{v} = -(\nabla \times \mathbf{v}) \times \mathbf{U} - \nabla(\mathbf{U} \cdot \mathbf{v})$$

à noter: pas de coefficient 1/2 dans $\mathbf{U} \cdot \mathbf{v}$.

Synthèse sur les équations

- Grande diversité des systèmes d'équations
- Des ingrédients génériques: transport, projection, etc.,
- qui s'assemblent à la manière d'un jeu de LEGO.
- Une famille de processus essentiels impactant la physique et le choix des méthodes numériques: les **ondes**.
 - ondes sonores
 - ondes de gravité: de surface et interne
 - ondes de vorticité (Rossby)

Discrétisations

Discrétisations en temps

- Leap-Frog + filtre d'Asselin (LFRA)
- méthodes de Runge-Kutta, eg. RK3, RK4
- méthodes Adams Bashforth
- méthodes semi-implicites
- etc.

Discrétisations en espace

- grilles logiquement rectangulaires (i, j, k)
- grilles destructurées (éléments finis)
- grilles hexagonales/icosahédriques
- grilles spectrales (FFT ou harmoniques sphériques)
- méthodes de Galerkin discontinues

Discrétisation en espace

Choix des coordonnées

- coordonnées horizontales: (x, y) , (λ, ϕ) , généralisées
- coordonnées verticales: z, ρ, p, σ (terrain-following)

Grilles décalées

Les grilles sont presque toujours **décalées** (staggered)

- les variables sont discrétisées à différents endroits en fonction de leur nature
- éléments géométriques: centers, edges, faces, volumes
- grilles A, B, C, etc. (nomenclature de Arakawa)
- **la grille C identifie le placement géométrique avec la nature de la variable** (scalaire, vecteur, pseudo-vecteur etc).

Grille C

Grille primaire

points

segments flux $\mathbf{U} q$

surfaces traceurs b, q

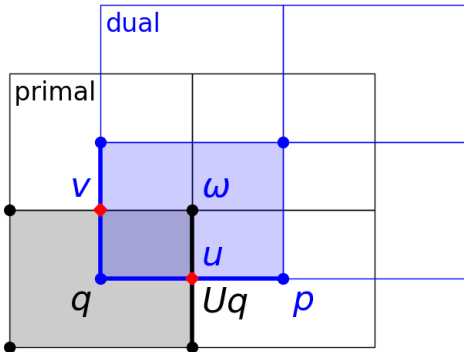
Grille duale

surfaces vorticité ω

segments vitesse \mathbf{u}

points pression p

en 3D, on ajoute les volumes
& les traceurs deviennent des
volumes



L'opérateur ∇ fait passer de
points \rightarrow segments \rightarrow surfaces (2D)
points \rightarrow segments \rightarrow surfaces \rightarrow volumes
(3D)

[Desbrun et al 2006]

Notion d'ordre

Ordre d'une discrétisation

- L'**ordre n** d'une discrétisation est l'**exposant** de son erreur de troncature $\sim \mathcal{O}(h^n)$, avec h le pas de discrétisation (temps ou espace).
- L'ordre détermine la vitesse de convergence lorsqu'on raffine le pas h
- Plus l'ordre est grand, plus la discrétisation est précise
- Pour monter l'ordre, il faut utiliser plus de points (stencils plus étendus) et faire plus d'opérations.

Exemple

$\partial_x \phi = (\phi_i - \phi_{i-1})/h$ est d'ordre 1 si le résultat est évalué en i ou en $i-1$ mais d'ordre 2 si il est évalué en $i-1/2$.

Ordre 2 et au delà

- Il est facile d'avoir des discrétisations d'ordre 2. Ce fut longtemps le défaut dans les codes.
- Certains opérateurs peuvent être montés à des ordres supérieurs: 3, 4 ou 5 pour le transport par exemple, 3 pour le temps (RK3).
- La montée en ordre permet d'avoir des solutions plus précises, pour une résolution donnée.
- Attention cependant, monter en ordre le transport des traceurs doit aller de pair avec un champ de vitesse d'ordre supérieur aussi (cf. TP) + question du transport de vecteur.

Subtilités liées à la montée en ordre

- la variable discrétisée est-elle en **différences finies** ou en **volume finis** ?
- **DF**: ϕ_i est la valeur au point x_i
- **VF**: ϕ_i est la valeur moyenne sur la maille i
- discrétisation sur volumes: VF, sur vertex: DF
- A l'ordre 2 \rightarrow pas de différence, aux ordres supérieurs, c'est différent!
- Exemple: interpolation 4e ordre au point $x_{i+1/2}$

$$\text{DF } \phi_{i+1/2}^* = (-\phi_{i-1} + 9\phi_i + 9\phi_{i+1} - \phi_{i+2})/16$$

$$\text{VF } \phi_{i+1/2}^* = (-\phi_{i-1} + 7\phi_i + 7\phi_{i+1} - \phi_{i+2})/12$$

Discrétisation et interpolation

Comment (re-)trouver les poids d'une discrétisation ?

Soit ϕ_i un discrétisation FD de ϕ , S un stencil = un ensemble d'indices, e.g. $(i-1, i, i+1)$. Une **reconstruction** $\phi(x)$ sur l'intervale $[x_{i-1}, x_{i+1}]$ est

$$\phi(x) = \sum_{j \in S} P_j(x) \phi_j$$

où $P_j(x)$ est le **polynôme de Lagrange**

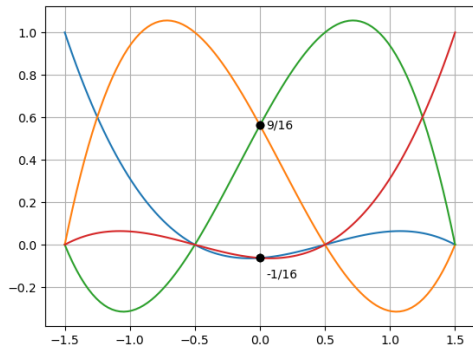
$$P_j(x) = \prod_{k \in S, k \neq j} \frac{x - x_j}{x_k - x_j}$$

On peut alors trouver les poids de n'importe quelle dérivée en n'importe quel point. Par exemple, la discrétisation de la dérivée première au point $i + 1/2$ est

$$\phi'_{i+1/2} = \sum_{j \in S} w_j \phi_j \quad \text{avec} \quad w_j = P'_j(x_{i+1/2})$$

Polynômes de Lagrange

Les 4 polynômes de Lagrange du stencil $S = \{-3/2, -1/2, 1/2, 3/2\}$



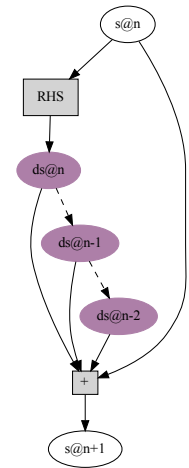
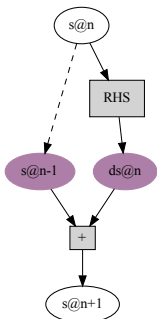
et l'interpolation en $x = 0$ associée (ordre 4)

$$\phi_i^* = (-\phi_{i-3/2} + 9\phi_{i-1/2} + 9\phi_{i+1/2} - \phi_{i+3/2})/16$$

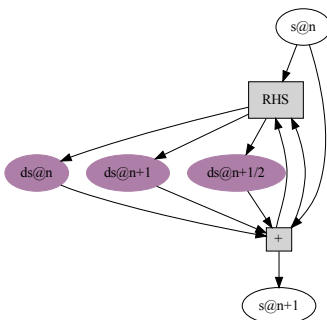
Quelques schémas d'intégration en temps

Adams Bashforth, ordre 3

Leap-Frog, ordre 2



RK3, ordre 3



En violet: les états intermédiaires à stocker.

Ingrédients d'un cœur dynamique

Un cœur dynamique de modèle c'est

des **données**
&
des **fonctions**

- L'organisation des données est cruciale.
- Les données devraient être regroupées en ensembles cohérents.
- Ensemble cohérent → définition de **types**.
- La création de types adaptés devrait être la règle.
- Exemple: le type **state** pour contenir tous les tableaux de l'état d'un modèle.

Ingrédients d'un cœur dynamique

Données

param ensemble des paramètres utilisateurs

state collections de tableaux

mesh données concernant la grille, e.g. dx , dy , le masque, la bathymétrie, le paramètre de Coriolis, etc.

time calendrier, t , indice d'itération etc.

integrator collections de tableaux intermédiaires pour passer de n à $n + 1$

```
class Model:  
    def __init__(self, param):  
        self.param = param  
        self.mesh = Mesh(param)  
        self.state = State(param, self.mesh)  
        self.time = Time(param)  
        self.integrator = Integrator(param, self.mesh, self.state)
```

Ingrédients d'un cœur dynamique

Fonctions

- qui opèrent sur l'état et retournent
- une **tendance** $ds = R(s)$
- ou qui modifient cet état $D(s)$ [avec **s** “mutable”]
- chaque fonction combinant elle-même le résultat d'autres fonctions

Construction de briques

- structure modulaire
- voie pour avoir un continuum d'**abstraction**
- depuis des **fonctions bas niveau**, optimisées pour une architecture matérielle
- jusqu'à des **fonctions haut niveau**, très abstraites, e.g. **divflux**

Traduction en code du modèle d'Euler

Etat: **namedtuple** dont chaque clef est un *array*

```
s = namedtuple("s", "u U omega ke p")
```

Fonction pour la partie **prognostique**

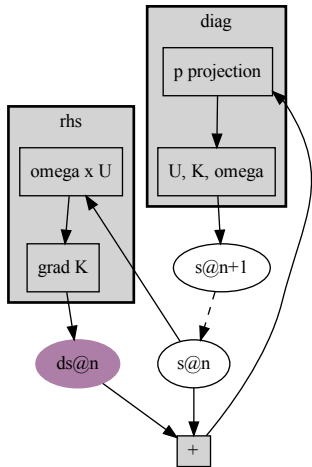
```
def rhs(s, ds):
    """ RHS for Euler model in momentum-pressure"""
    addvortexforce(param, mesh, s.U, s.omega, ds.u)
    addgrad(mesh, s.ke, ds.u)
```

Fonction pour la partie **diagnostique**

```
def diag(s):
    pressure_projection(mesh, s.U, s.div, s.p, s.u)
    sharp(mesh, s.u, s.U)
    compute_vorticity(mesh, s.u, s.omega)
    compute_kinetic_energy(param, mesh, s.u, s.U, s.ke)
```

Data flow

Flux des données pour le **modèle Euler**, avec un schéma ... Euler avant ;-)



Le cœur des données est l'état s^n
qu'on veut itérer en temps

généricité

cette structure permet le
changement de

modèle via les blocks **rhs** et
diag

schéma en temps via l'agencement
des flèches & l'ajout
d'autres **ds**

Variables globales ou locales ?

Comment `param` et `mesh` sont connus dans `rhs` ?

```
def rhs(s, ds):
    """ RHS for Euler model in momentum-pressure"""
    addvortexforce(param, mesh, s.U, s.omega, ds.u)
    addgrad(mesh, s.ke, ds.u)
```

Fortran

- en les mettant dans des **modules**
- en important ces modules
- e.g. dans NEMO:

`USE oce`

`USE dom_oce`

Python

En utilisant une **coupure** (*closure*)

```
def get_euler(param, mesh):
    def rhs(s, ds):
        """ RHS for Euler model"""
        addvortexforce(param, mesh, s.U, s.omega, ds.u)
        addgrad(mesh, s.ke, ds.u)

    return rhs
```

Notez: fonction retournant une ... fonction
Essayez en Fortran !

Adapation au modèle de Boussinesq

Ajout de “**b**” dans le namedtuple

```
s = namedtuple("u", "b", "U", "omega", "ke", "p")
```

et ajout des deux termes dans la fonction prognostique

```
def rhs(s, ds):
    """ RHS for Boussinesq model in momentum-pressure"""
    addvortexforce(param, mesh, s.U, s.omega, ds.u)
    addgrad(mesh, s.ke, ds.u)
    addbuoyancy(mesh, s.b, ds.u)
    divflux(param, mesh, s.flx, s.b, s.U, ds.b)
```

Et voilà ! . . . 3 lignes de code

Calcul du transport et niveaux d'abstraction

Terme $\nabla \cdot (\mathbf{U} q) \rightarrow$ fonction `divflux`

Discrétisation en volumes finis

- ① calcul des flux $(F_x, F_y) = (Uq, Vq)$
- ② divergence

```
def divflux(param, mesh, flx, q, U, dq):
    method = param.compflux
    compflux(flx.x, U.x, q, mesh.oc.x, mesh.xshift, method)
    compflux(flx.y, U.y, q, mesh.oc.y, mesh.yshift, method)
    div(mesh, flx, dq)
```

Noter le passage du paramètre `param.compflux` qui permet de sélectionner la méthode numérique (upwind, centrée, WENO, etc.).

*Dans le code CROCO le numérique est sélectionné via des clefs CPP
`#define WENO`. Pour changer de numérique, il faut recompiler le code.*

Calcul du flux en un point

Les trois **discrétisations linéaires** de base, d'ordre 1, 2 et 3

grille décalée: la vitesse U se trouve entre qm et qp

```
def up1(U, qm, qp):
    return U*qm if U > 0 else U*qp

def ce2(U, qm, qp):
    return U*(qm+qp)/2

def up3(U, qmm, qm, qp, qpp):
    return (U*(5*qm+2*qp-qmm))/6
        if U > 0 else
        (U*(5*qp+2*qm-qpp))/6
    )

def ce4(U, qmm, qm, qp, qpp):
    return U*(7*(qm+qp)-(qmm+qpp))/12
```

- Schémas d'**ordre impair**: ils sont **upwindés**, dans le sens de U .
- Schémas d'**ordre pair**: ils sont centrés
- le “stencil” (nombre de q utilisés) augmente avec l'ordre

Reconstruction non-linéaire

Les discrétisations précédentes sont **linéaires**, en q . Il existe aussi des discrétisations/**schémas non-linéaires**.

par ex: WENO, limiteurs de flux (minmod, Van Leer etc.)

```
def weno3z(qmm, qm, qp):
    """ WENO3z: reconstruct q at mid-point between qm and qp """
    eps = 1e-14

    q1 = (3*qm-qmm)/2
    q2 = (qm + qp)/2

    beta1 = (qm-qmm)**2
    beta2 = (qp-qm)**2
    tau = np.abs(beta2-beta1)

    g1, g2 = 1/3, 2/3
    w1 = g1 * (1 + tau / (beta1 + eps))
    w2 = g2 * (1 + tau / (beta2 + eps))

    return (w1*q1 + w2*q2) / (w1 + w2)
```

intérêt : ils évitent le phénomène de dispersion = création d'oscillations

désavantage : ils sont plus coûteux en cpu

Calcul du flux pour tout le domaine

Il nous manque finalement la fonction intermédiaire qui réalise la boucle sur toutes les faces

```
def compflux_on_interval(flx, U, q, o, s, i0, i1):
    for i in range(i0, i1):
        if o[i] > 4:
            flx[i] = flx5(U[i], q[i-3*s], q[i-2*s], q[i-s], q[i], q[i+s], q[i+2*s])
        elif o[i] > 2:
            flx[i] = flx3(U[i], q[i-2*s], q[i-s], q[i], q[i+s])
        elif o[i] > 0:
            flx[i] = flx1(U[i], q[i-s], q[i])
        else:
            flx[i] = 0
```

Particularités

- la fonction travaille avec des tableaux dépliés (longs vecteurs)
- les voisins sont distants de `q[i]` de `s`, avec `s in [1,nx]`
- fonction valable quelque soit la direction, `x` ou `y`
- le tableau `o[i]` contient la taille du stencil

Opérateurs de différentiation

Les opérateurs à base de ∇ s'écrivent simplement

```
def addgrad(mesh, phi, du):
    du.x[:, 1:] -= np.diff(phi, axis=1)*mesh.mskx[:, 1:]
    du.y[1:, :] -= np.diff(phi, axis=0)*mesh.msky[1:, :]
```

```
def div(mesh, U, delta):
    delta[:, :-1] = -np.diff(U.x, axis=1)
    delta[:-1, :] -= np.diff(U.y, axis=0)
    delta *= mesh.msk
```

```
def compute_vorticity(mesh, u, omega):
    omega[1:, :] = -np.diff(u.x, axis=0)
    omega[:, 1:] += np.diff(u.y, axis=1)
    omega *= mesh.mskv
```

Cette simplicité vient de la grille décalée (type C) qui permet



Les grands absents de ce cours

Avez-vous vu LES grands absents de ce cours ?

Les grands absents de ce cours

Les termes de diffusion et de viscosité

- Aux échelles OA, la diffusion et la viscosité moléculaire sont négligeables
- Ils sont responsables de la dissipation
- La dissipation est un ingrédient essentiel de la turbulence
- **Diffusion et viscosité sont paramétrisés** par une fermeture
- fermeture explicite vs dissipation implicite (avec WENO par exemple).
- la dissipation est un phénomène sous-maille.

Conclusion

Equations

- Nombreux systèmes d'équations
- Décrivant chacun un extrait d'une physique plus complète

Discrétisation

- Notion de grille décalée
- Théorie de l'interpolation à la base des schémas

Architecture

- Structure des données: élément essentiel
- Organisation en fonctions: modularité, abstraction

Perspectives

- Les coeurs des codes communautaires sont le fruit d'une histoire
- Lecture difficile → côté boite noire
- Les architectures sont largement périmées
- Besoin émergent: codes différentiables (backward) & tournant sur GPU
- Il existe des tentatives pour développer des nouveaux codes:
Oceananigans de ClimaMachine, Google, ClimFlows ...